

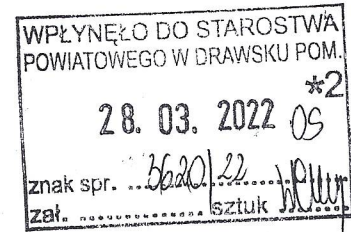
Gdańsk, dn. 2022-03-28

T-Mobile Polska S.A.  
ul. Marynarska 12  
02-674 Warszawa

Pełnomocnik:  
Pełnomocnictwo numer:  
z dnia: 2021-01-13

dane do korespondencji:  
**NetWorkSI Sp. z o.o.**  
ul. Józefa Piusa Dziekońskiego 3  
00-728 Warszawa

*MW*  
*28 03 2022*  
*[Signature]*



**Starosta Powiatu Drawskiego**  
**Starostwo Powiatowe w Drawsku Pomorskim**  
**Plac Elizy Orzeszkowej 3**  
**78-500 Drawsko Pomorskie**

**Dotyczy:** ustawowego obowiązku, wynikającego z art. 152 ust. 1 i ust. 7 w związku z ust. 6 pkt 1c ustawy z dnia 27 kwietnia 2001r – Prawo ochrony środowiska (Dz.U. z 2020r. poz. 1219 z późn. zm.).

Działając z upoważnienia T-Mobile Polska S.A. z siedzibą ul. Marynarska 12, 02-674 Warszawa, informuję o zmianie danych w zakresie wielkości i rodzaju emisji dla instalacji radiokomunikacyjnej **32883 (42883N!) GKO\_ZLOCENIE\_ALEJAPIASTOW2** zlokalizowanej w miejscowości ZŁOCIENIEC, ALEJA PIASTÓW 2. W stosunku do informacji zawartej w zgłoszeniu realizowanym dla tej instalacji w trybie art. 152 ust. 1 i 5 ustawy z dnia 27 kwietnia 2001r – Prawo ochrony środowiska (Dz.U. z 2020r. poz. 1219 z późn. zm.), dane ulegają zmianie w następujący sposób:

**9. Wielkość i rodzaj emisji<sup>2)</sup>:**

Pole elektromagnetyczne. EIRP poszczególnych anten zostało podane w pkt 12, tj.

| Lp. | Równoważna moc promieniowana izotropowo (EIRP) [W] |
|-----|--|
| 1.  | 16734  |
| 2.  | 2787   |
| 3.  | 16734  |
| 4.  | 2787   |
| 5.  | 16734  |
| 6.  | 2787   |
| 7.  | 11777  |
| 8.  | 11   |
| 9.  | 447  |
| 10. | 7  |
| 11. | 468  |
| 12. | 11   |
| 13. | 4  |

28 MAR. 2022 18<sup>12</sup>

12. Szczegółowe dane, odpowiednio do rodzaju instalacji, zgodne z wymaganiami określonymi w załączniku nr 2 do Rozporządzenia:

| Lp. <sup>3)</sup> | 1)                          | 2)  | 3)   | 4)   | 5)         |   |
|-------------------|-----------------------------|---|--|--|------------|---|
| Lp.               | Współrzędne geograficzne    | Częstotliwość lub zakresy częstotliwości pracy instalacji [MHz] | Wysokość środka elektrycznego anteny [m n.p.t] | Równoważna moc promieniowana izotropowo (EIRP) [W] | Azymut [°] | Kąt pochylenia lub zakresy kątów pochylenia [°] |
| 1.                | 16°1'33.47"<br>53°31'43.76" | 900/1800/2100   | 55.8   | 16734  | 20         | 0/4/4   |
| 2.                | 16°1'33.45"<br>53°31'43.77" | 800   | 55.8   | 2787   | 20         | 2   |
| 3.                | 16°1'33.43"<br>53°31'43.67" | 900/1800/2100   | 55.8   | 16734  | 150        | 0/4/4   |
| 4.                | 16°1'33.45"<br>53°31'43.67" | 800   | 55.8   | 2787   | 150        | 2   |
| 5.                | 16°1'33.34"<br>53°31'43.76" | 900/1800/2100   | 55.8   | 16734  | 280        | 0/2/2   |
| 6.                | 16°1'33.34"<br>53°31'43.75" | 800   | 55.8   | 2787   | 280        | 2   |
| 7.                | 16°1'33.35"<br>53°31'43.76" | 18000   | 58.5   | 11777  | 2*         | nd.   |
| 8.                | 16°1'33.42"<br>53°31'43.67" | 38000   | 61.7   | 11   | 164*       | nd.   |
| 9.                | 16°1'33.4"<br>53°31'43.67"  | 80000   | 59   | 447  | 227*       | nd.   |
| 10.               | 16°1'33.42"<br>53°31'43.67" | 38000   | 61.3   | 7  | 234*       | nd.   |
| 11.               | 16°1'33.33"<br>53°31'43.75" | 32000   | 61.7   | 468  | 284*       | nd.   |
| 12.               | 16°1'33.33"<br>53°31'43.75" | 38000   | 60   | 11   | 302*       | nd.   |
| 13.               | 16°1'33.34"<br>53°31'43.76" | 38000   | 60.8   | 4  | 311*       | nd.   |

\*) tolerancja azymutu od -10° do +10°.

Informuję, iż dokonane zmiany w zakresie wielkości i rodzaju emisji przedmiotowej instalacji nie powodują zmiany instalacji w sposób istotny zgodnie z art. 3 pkt 7 ustawy Poś.

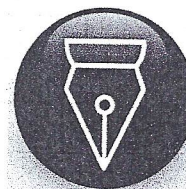
Jednocześnie informuję, iż analizowane przedsięwzięcie nadal **nie kwalifikuje się** do przedsięwzięć mogących znacząco oddziaływać na środowisko biorąc pod uwagę, iż w osi głównych wiązek promieniowania anten sektorowych w odległościach podanych w Rozporządzeniu Rady Ministrów z dnia 10 września 2019r. w sprawie przedsięwzięć mogących znacząco oddziaływać na środowisko /Dz.U. 2019 poz. 1839 ze zm./ nie znajdują się miejsca dostępne dla ludności.

W załączniku przesyłam:

1. Pełnomocnictwo
2. Kopia potwierdzenia wniesienia opłaty skarbowej.
3. sprawozdanie z pomiarów PEM

Otrzymują:

1. a/a
2. adresat



Signed by /  
Podpisano przez:

**NetWorks**

Laboratorium Badań Środowiskowych  
ul. Józefa Piusa Dziekońskiego 3  
00-728 Warszawa  
e-mail: [Laboratorium@networks.pl](mailto:Laboratorium@networks.pl)



AB 419

**S P R A W O Z D A N I E 10520/2021/OS**  
**Z POMIARÓW PÓL ELEKTROMAGNETYCZNYCH**  
**WYKONANYCH DLA POTRZEB OCHRONY ŚRODOWISKA**

Badany obiekt: Instalacja radiokomunikacyjna T-Mobile Polska S.A.  
Numer i nazwa: 32883 (42883N!) GKO\_ZLOCZENIE\_ALEJAPIASTOW2  
Adres: ZŁOCIENIEC, ALEJA PIASTÓW 2, Powiat drawski, WOJ. ZACHODNIOPOMORSKIE

Data wykonania pomiarów: 2022-03-09

Sprawozdanie z badań bez pisemnej zgody laboratorium nie może być powielane inaczej niż w całości.  
Wynik przedstawione w niniejszym sprawozdaniu odnoszą się wyłącznie do badanego obiektu i do warunków i  
urządzeń w dniu wykonywania pomiarów.

28 MAR 2022

**1. Właściciel badanego obiektu:**

T-Mobile Polska S.A., ul. Marynarska 12, 02-674 Warszawa

**2. Zleceniodawca:**

T-Mobile Polska S.A., ul. Marynarska 12, 02-674 Warszawa

**3. Przedstawiciel zleceniodawcy:**

NetWorkS! Sp.z o.o.

**4. Zakres zlecenia:**

Wykonanie badania i opracowanie sprawozdania z pomiarów natężenia pola elektrycznego i pola magnetycznego dla instalacji radiokomunikacyjnej T-Mobile Polska S.A. zlokalizowanej w miejscowości ZŁOCIENIEC, ALEJA PIASTÓW 2.

**5. Cel zlecenia:**

Wykonanie pomiarów pól elektromagnetycznych w otoczeniu instalacji radiokomunikacyjnej 32883 (42883N!) GKO\_ZLOCIENIE\_ALEJAPIASTOW2 w odniesieniu do wymagań określonych w *Rozporządzeniu Ministra Klimatu z dnia 17 lutego 2020 r. w sprawie sposobów sprawdzania dotrzymania dopuszczalnych poziomów pól elektromagnetycznych w środowisku (Dz. U. 2020, poz. 258)*.

**6. Pomiary zostały wykonane przez:**

**7. Informacje o źródłach pól elektromagnetycznych**

**7.1. Sposób identyfikacji badanych źródeł pól elektromagnetycznych**

Identyfikacji źródeł i parametrów technicznych dokonano na podstawie analizy dokumentacji dotyczącej zlecenia oraz obserwacji miejsca wykonywania badań.

**7.2. Opis miejsca zainstalowania anten i urządzeń technicznych. Opis obiektu badań i jego otoczenia**

Instalacja radiokomunikacyjna zlokalizowana jest na terenie ogrodzonym. Anteny zawieszono na wieży kratowej. Urządzenia sterujące oraz zasilające zainstalowano w kontenerze u podstawy wieży. Wokół instalacji znajdują się tereny przemysłowe.

Instalacja radiokomunikacyjna jest obiektem bezobsługowym. Okresowe stanowiska pracy związane są z prowadzonymi w zależności od potrzeb konserwacjami, przeglądami, strojeniem i naprawami.

Sprawozdanie z badań bez pisemnej zgody laboratorium nie może być powielane inaczej niż w całości.  
Wynik przedstawione w niniejszym sprawozdaniu odnoszą się wyłącznie do badanego obiektu i do warunków i konfiguracji urządzeń w dniu wykonywania pomiarów.

### 7.3. Parametry techniczne źródła pola elektromagnetycznego

Dane przedstawiające maksymalne parametry pracy instalacji przekazane przez zleceniodawcę:

Parametry systemu nadawczo-odbiorczego:

| Charakterystyka promieniowania  |  | kierunkowa           |              |            |                     |   |  |
|---------------------------------|--|----------------------|--------------|------------|---------------------|---|--|
| Rzeczywisty czas pracy [h/dobę] |  | 24                   |              |            |                     |   |  |
| Warunki pracy                   |  | znamionowe           |              |            |                     |   |  |
| Rodzaj wytwarzanego pola        |  | stacjonarne          |              |            |                     |   |  |
| Lp.                             | Częstotliwość lub zakresy częstotliwości pracy [MHz] | Typ/producent anteny | liczba anten | Azymut [°] | kąt pochylenia* [°] | Wysokość środka elektrycznego anteny [m n.p.t.] | Równoważna moc promieniowana izotropowo (EIRP) [W] |
| 1                               | 900/1800/2100  | ATR4518R11v06 Huawei | 1            | 20         | 0/4/4               | 55.8  | 16734  |
| 2                               | 800  | ATR4518R11v06 Huawei | 1            | 20         | 2                   | 55.8  | 2787   |
| 3                               | 900/1800/2100  | ATR4518R11v06 Huawei | 1            | 150        | 0/4/4               | 55.8  | 16734  |
| 4                               | 800  | ATR4518R11v06 Huawei | 1            | 150        | 2                   | 55.8  | 2787   |
| 5                               | 900/1800/2100  | ATR4518R11v06 Huawei | 1            | 280        | 0/2/2               | 55.8  | 16734  |
| 6                               | 800  | ATR4518R11v06 Huawei | 1            | 280        | 2                   | 55.8  | 2787   |

\* wskazane wartości kąta pochylenia anten, zgodnie z informacją uzyskaną od zleceniodawcy, są wartościami stałymi

Parametry radiolinii:

| Charakterystyka promieniowania  |  | kierunkowa                |  |                             |                     |            |                                   |
|---------------------------------|--|---------------------------|--|-----------------------------|---------------------|------------|-----------------------------------|
| Rzeczywisty czas pracy [h/dobę] |  | 24                        |  |                             |                     |            |                                   |
| Warunki pracy                   |  | znamionowe                |  |                             |                     |            |                                   |
| Rodzaj wytwarzanego pola        |  | stacjonarne               |  |                             |                     |            |                                   |
| Lp.                             | Linia radiowa                                    |                           |  | Antena                      |                     |            |                                   |
|                                 | Typ/ Producent                                   | Częstotliwość pracy [GHz] | Równoważna moc promieniowana izotropowo (EIRP) [W] | Typ/ producent              | Średnica anteny [m] | Azymut [°] | Wysokość zainstalowania n.p.t [m] |
| 1.                              | NP ERICSSON ML 6363 18GHz 2x56MHz XPIC Ericsson  | 18                        | 11777  | ANT3_1.2 18 HP/HPX Ericsson | 1.2                 | 2          | 58.5                              |
| 2.                              | Ericsson CN510 RAU2X Harris Stratex              | 38                        | 11   | ANT2_0.3 38 HP Andrew       | 0.3                 | 164        | 61.7                              |
| 3.                              | NP ERICSSON ML 6352 R2+ 70/80GHz 250MHz Ericsson | 80                        | 447  | UKY 230 41/14H Ericsson     | 0.3                 | 227        | 59                                |
| 4.                              | WTM 3100 38GHz 14MHz Harris Stratex              | 38                        | 7  | VHLP1-38 Andrew             | 0.3                 | 234        | 61.3                              |
| 5.                              | Ericsson CN510 RAU2X Harris Stratex              | 32                        | 468  | ANT2_0.3 32 HP Andrew       | 0.3                 | 284        | 61.7                              |
| 6.                              | Ericsson CN510 RAU2X Harris Stratex              | 38                        | 11   | ANT2_0.3 38 HP Andrew       | 0.3                 | 302        | 60                                |
| 7.                              | ERICSSON CN510 6363 Harris Stratex               | 38                        | 4  | ANT3_0.3 38 HP/HPX Ericsson | 0.3                 | 311        | 60.8                              |

Sprawozdanie z badań bez pisemnej zgody laboratorium nie może być powielane inaczej niż w całości. Wynik przedstawione w niniejszym sprawozdaniu odnoszą się wyłącznie do badanego obiektu i do warunków i konfiguracji urządzeń w dniu wykonywania pomiarów.

#### 7.4 Inne źródła pól elektromagnetycznych

Na podstawie informacji otrzymanych od użytkownika oraz obserwacji otoczenia miejsca wykonywania pomiarów oraz stwierdzono występowanie innych źródeł pola-EM, pracujących w systemie: telefonii komórkowej (800MHz-2600MHz), linii radiowych (5GHz – 90GHz). Nie rozpoznano szczegółowych danych dotyczących parametrów technicznych źródeł pola-EM innych użytkowników.

### 8. Opis pomiarów

#### 8.1. Metoda badań

Zgodna z rozporządzeniem Ministra Klimatu z dnia 17 lutego 2020 r. w sprawie sposobów sprawdzania dotrzymania dopuszczalnych poziomów pól elektromagnetycznych w środowisku (Dz. U. 2020, poz. 258), określona w pkt 25 ppkt 1 załącznika do niniejszego rozporządzenia.

Zgodnie z art. 122a ust. 1b ustawy Prawo Ochrony Środowiska, w przypadku wprowadzenia na części albo całym terytorium Rzeczypospolitej Polskiej stanu nadzwyczajnego, o którym mowa w art. 228 ust. 1 Konstytucji Rzeczypospolitej Polskiej z dnia 2 kwietnia 1997 r. (Dz. U. poz. 483, z 2001 r. poz. 319, z 2006 r. poz. 1471 oraz z 2009 r. poz. 946), lub stanu zagrożenia epidemicznego lub stanu epidemii, o których mowa w art. 46 ustawy z dnia 5 grudnia 2008 r. o zapobieganiu oraz zwalczaniu zakażeń i chorób zakaźnych u ludzi (Dz. U. z 2019 r. poz. 1239, z późn. zm.8) ), pomiarów , nie przeprowadza się w lokalach mieszkalnych oraz w lokalach użytkowych zlokalizowanych na terytorium objętym stanem nadzwyczajnym, stanem zagrożenia epidemicznego lub stanem epidemii.

W związku z obecnie obowiązującym stanem epidemii, pomiarów nie wykonano w lokalach mieszkalnych oraz w lokalach użytkowych zlokalizowanych w obszarze pomiarowym przedmiotowej instalacji radiokomunikacyjnej.

#### 8.2. Termin pomiarów i warunki środowiskowe

Podczas wykonywania pomiarów pól elektromagnetycznych nie występowały opady atmosferyczne. Wyniki pomiaru parametrów pogodowych przedstawia poniższa tabela:

| Data<br>[rrrr-mm-dd] | Godzina<br>[hh:mm-hh:mm] | Warunki środowiskowe |              |                         |              |
|----------------------|--------------------------|----------------------|--------------|-------------------------|--------------|
|                      |                          | Temperatura [°C]     |              | Wilgotność względna [%] |              |
| 2022-03-09           | 08:55-10:10              | Przed pomiarem       | Po pomiarach | Przed pomiarem          | Po pomiarach |
|                      |                          | 2.6                  | 2.5          | 65.4                    | 65.3         |

Przedstawione wyżej warunki środowiskowe, występujące podczas wykonywania pomiarów pól elektromagnetycznych, są zgodne ze specyfikacją techniczną użytego zestawu pomiarowego.

#### 8.3. Warunki pracy urządzeń nadawczych

Podczas pomiarów zostały uwzględnione poprawki pomiarowe przekazane przez zleceniodawcę, umożliwiające uwzględnienie maksymalnych parametrów pracy instalacji zgodnie z pkt 7 załącznika do Rozporządzeniem Ministra Klimatu z dnia 17 lutego 2020 r. w sprawie sposobów sprawdzania dotrzymania dopuszczalnych poziomów pól elektromagnetycznych w środowisku (Dz. U. 2020, poz. 258).

#### 8.4. Wyposażenie pomiarowe

Zestaw pomiarowy służący do pomiaru natężenia składowej elektrycznej pola elektromagnetycznego złożony z szerokopasmowego miernika i sondy pomiarowej:

| Oznaczenie miernika | Producent                  | Model                                    | Numer fabryczny | Oznaczenie sondy | Producent                  | Model        | Numer fabryczny |
|---------------------|----------------------------|--|-----------------|------------------|----------------------------|--------------|-----------------|
| M-22                | Narda Safety Test Solution | Miernik pól elektromagnetycznych NBM-550 | H-0487          | S-29             | Narda Safety Test Solution | Sonda EF9091 | A-0069          |

Mierniki natężenia pola elektromagnetycznego podlegają okresowemu sprawdzeniu zgodnie z procedurą wewnętrzną P-03 i PB-01. Świadectwo wzorcowania zestawu pomiarowego z dnia 2 czerwca 2020 o numerze LWiMP/W/165/20 wydane przez Laboratorium Wzorców i Metrologii Pola Elektromagnetycznego (LWiMP) Politechniki Wrocławskiej. Data ważności świadectwa wzorcowania: 2 czerwca 2022 (zgodnie z procedurą wewnętrzną P-03).

Sprawozdanie z badań bez pisemnej zgody laboratorium nie może być powielane inaczej niż w całości.  
Wynik przedstawione w niniejszym sprawozdaniu odnoszą się wyłącznie do badanego obiektu i do warunków i konfiguracji urządzeń w dniu wykonywania pomiarów.

| Oznaczenie miernika | Producent                  | Model                                    | Numer fabryczny | Oznaczenie sondy | Producent                  | Model        | Numer fabryczny |
|---------------------|----------------------------|--|-----------------|------------------|----------------------------|--------------|-----------------|
| M-22                | Narda Safety Test Solution | Miernik pól elektromagnetycznych NBM-550 | H-0487          | S-30             | Narda Safety Test Solution | Sonda EF0391 | D-1594          |

Mierniki natężenia pola elektromagnetycznego podlegają okresowemu sprawdzeniu zgodnie z procedurą wewnętrzną P-03 i PB-01. Świadectwo wzorcowania zestawu pomiarowego z dnia 2 czerwca 2020 o numerze LWIMP/W/165/20 wydane przez Laboratorium Wzorców i Metrologii Pola Elektromagnetycznego (LWIMP) Politechniki Wrocławskiej.  
Data ważności świadectwa wzorcowania: 2 czerwca 2022 (zgodnie z procedurą wewnętrzną P-03).

Termohigrometr:

|             |       |            |                    |        |                       |
|-------------|-------|------------|--------------------|--------|-----------------------|
| Oznaczenie: | TH-11 | Producent: | AZ INSTRUMENT CORP | Model: | Termohigrometr AZ8706 |
|-------------|-------|------------|--------------------|--------|-----------------------|

Data ważności świadectwa wzorcowania: 20 maja 2023 (zgodnie z procedurą wewnętrzną P-03).

Dalmierz:

| Oznaczenie | Producent | Typ                       | Numer seryjny | Nr świadectwa wzorcowania | Data świadectwa wzorcowania |
|------------|-----------|---------------------------|---------------|---------------------------|-----------------------------|
| D-08       | Leica     | Dalmierz Leica Disto D510 | 1042957273    | 4609.4-M11-4180-1748/14   | 9 stycznia 2015             |

Data ważności świadectwa wzorcowania: 9 stycznia 2025 (zgodnie z procedurą wewnętrzną P-03).

## 9. Wyniki pomiarów

### Pole elektryczne

| Nr pionu | Opis umiejscowienia pionu (punktu) pomiarowego        | Wysokość pomiaru [m] | Zmierzona wartość natężenia pola elektrycznego E [V/m] <sup>1,5</sup> |            |      | Wartość natężenia pola elektrycznego po uwzględnieniu poprawek pomiarowych powiększona o niepewność pomiaru <sup>4</sup> E [V/m] | Wskaźnikowa wartość poziomu emisji pól elektromagnetycznych WME <sup>3</sup> | Współrzędne geograficzne pionu pomiarowego <sup>2</sup> |
|----------|---|----------------------|---|------------|------|--|--|---|
|          |   |                      | Sonda S-29  | Sonda S-30 | SUMA |  |  |   |
| 1        | GKP w odległości 9m od anteny radioliniowej az. 2°    | 0,3-2,0              | <1,0  | <1,0       | <1,0 | 2.1  | 0.08   | 53°31'44.04"<br>16°1'33.24"                             |
| 2        | GKP w odległości 37m od anteny radioliniowej az. 2°   | 0,3-2,0              | <1,0  | <1,0       | <1,0 | 2.1  | 0.08   | 53°31'45.12"<br>16°1'33.24"                             |
| 3        | GKP w odległości 90m od anteny radioliniowej az. 2°   | 0,3-2,0              | <1,0  | <1,0       | <1,0 | 2.1  | 0.08   | 53°31'46.56"<br>16°1'33.599"                            |
| 4        | GKP w odległości 10m od anteny sektorowej az. 20°     | 0,3-2,0              | <1,0  | <1,0       | <1,0 | 2.1  | 0.08   | 53°31'44.04"<br>16°1'33.599"                            |
| 5        | GKP w odległości 44m od anteny sektorowej az. 20°     | 0,3-2,0              | <1,0  | <1,0       | <1,0 | 2.1  | 0.08   | 53°31'45.12"<br>16°1'34.319"                            |
| 6        | GKP w odległości 89m od anteny sektorowej az. 20°     | 0,3-2,0              | <1,0  | <1,0       | <1,0 | 2.1  | 0.08   | 53°31'46.56"<br>16°1'35.039"                            |
| 7        | GKP w odległości 9m od anteny sektorowej az. 150°     | 0,3-2,0              | <1,0  | <1,0       | <1,0 | 2.1  | 0.08   | 53°31'43.32"<br>16°1'33.599"                            |
| 8        | GKP w odległości 35m od anteny sektorowej az. 150°    | 0,3-2,0              | <1,0  | <1,0       | <1,0 | 2.1  | 0.08   | 53°31'42.6"<br>16°1'34.319"                             |
| 9        | GKP w odległości 67m od anteny sektorowej az. 150°    | 0,3-2,0              | <1,0  | <1,0       | <1,0 | 2.1  | 0.08   | 53°31'41.88"<br>16°1'35.399"                            |
| 10       | GKP w odległości 96m od anteny sektorowej az. 150°    | 0,3-2,0              | <1,0  | <1,0       | <1,0 | 2.1  | 0.08   | 53°31'40.799"<br>16°1'36.12"                            |
| 11       | GKP w odległości 10m od anteny radioliniowej az. 164° | 0,3-2,0              | <1,0  | <1,0       | <1,0 | 2.1  | 0.08   | 53°31'43.32"<br>16°1'33.599"                            |

Sprawozdanie z badań bez pisemnej zgody laboratorium nie może być powielane inaczej niż w całości.  
Wynik przedstawione w niniejszym sprawozdaniu odnoszą się wyłącznie do badanego obiektu i do warunków i konfiguracji urządzeń w dniu wykonywania pomiarów.

|    |   |         |      |      |      |     |      |                               |
|----|---|---------|------|------|------|-----|------|-------------------------------|
| 12 | GKP w odległości 39m od anteny radioliniowej az. 164° | 0,3-2,0 | <1,0 | <1,0 | <1,0 | 2.1 | 0.08 | 53°31'42.6"<br>16°1'33.959"   |
| 13 | GKP w odległości 63m od anteny radioliniowej az. 164° | 0,3-2,0 | <1,0 | <1,0 | <1,0 | 2.1 | 0.08 | 53°31'41.519"<br>16°1'34.319" |
| 14 | GKP w odległości 94m od anteny radioliniowej az. 164° | 0,3-2,0 | <1,0 | <1,0 | <1,0 | 2.1 | 0.08 | 53°31'40.799"<br>16°1'34.679" |
| 15 | GKP w odległości 13m od anteny radioliniowej az. 234° | 0,3-2,0 | <1,0 | <1,0 | <1,0 | 2.1 | 0.08 | 53°31'43.32"<br>16°1'32.88"   |
| 16 | GKP w odległości 35m od anteny radioliniowej az. 227° | 0,3-2,0 | <1,0 | <1,0 | <1,0 | 2.1 | 0.08 | 53°31'42.959"<br>16°1'32.16"  |
| 17 | GKP w odległości 67m od anteny radioliniowej az. 234° | 0,3-2,0 | <1,0 | <1,0 | <1,0 | 2.1 | 0.08 | 53°31'42.6"<br>16°1'30.359"   |
| 18 | GKP w odległości 91m od anteny radioliniowej az. 227° | 0,3-2,0 | <1,0 | <1,0 | <1,0 | 2.1 | 0.08 | 53°31'41.519"<br>16°1'29.639" |
| 19 | GKP w odległości 92m od anteny radioliniowej az. 234° | 0,3-2,0 | <1,0 | <1,0 | <1,0 | 2.1 | 0.08 | 53°31'41.88"<br>16°1'29.279"  |
| 20 | GKP w odległości 11m od anteny radioliniowej az. 284° | 0,3-2,0 | <1,0 | <1,0 | <1,0 | 2.1 | 0.08 | 53°31'43.679"<br>16°1'32.88"  |
| 21 | GKP w odległości 38m od anteny sektorowej az. 280°    | 0,3-2,0 | <1,0 | <1,0 | <1,0 | 2.1 | 0.08 | 53°31'44.04"<br>16°1'31.44"   |
| 22 | GKP w odległości 64m od anteny radioliniowej az. 284° | 0,3-2,0 | <1,0 | <1,0 | <1,0 | 2.1 | 0.08 | 53°31'44.04"<br>16°1'29.999"  |
| 23 | GKP w odległości 71m od anteny sektorowej az. 280°    | 0,3-2,0 | <1,0 | <1,0 | <1,0 | 2.1 | 0.08 | 53°31'44.04"<br>16°1'29.639"  |
| 24 | GKP w odległości 94m od anteny radioliniowej az. 284° | 0,3-2,0 | <1,0 | <1,0 | <1,0 | 2.1 | 0.08 | 53°31'44.4"<br>16°1'28.559"   |
| 25 | GKP w odległości 96m od anteny sektorowej az. 280°    | 0,3-2,0 | <1,0 | <1,0 | <1,0 | 2.1 | 0.08 | 53°31'44.4"<br>16°1'28.199"   |
| 26 | GKP w odległości 15m od anteny radioliniowej az. 302° | 0,3-2,0 | <1,0 | <1,0 | <1,0 | 2.1 | 0.08 | 53°31'44.04"<br>16°1'32.52"   |
| 27 | GKP w odległości 52m od anteny radioliniowej az. 302° | 0,3-2,0 | <1,0 | <1,0 | <1,0 | 2.1 | 0.08 | 53°31'44.759"<br>16°1'31.08"  |
| 28 | GKP w odległości 73m od anteny radioliniowej az. 302° | 0,3-2,0 | <1,0 | <1,0 | <1,0 | 2.1 | 0.08 | 53°31'45.12"<br>16°1'29.999"  |
| 29 | GKP w odległości 89m od anteny radioliniowej az. 302° | 0,3-2,0 | <1,0 | <1,0 | <1,0 | 2.1 | 0.08 | 53°31'45.12"<br>16°1'29.279"  |
| 30 | GKP w odległości 70m od anteny radioliniowej az. 311° | 0,3-2,0 | <1,0 | <1,0 | <1,0 | 2.1 | 0.08 | 53°31'45.12"<br>16°1'30.359"  |
| 31 | GKP w odległości 92m od anteny radioliniowej az. 311° | 0,3-2,0 | <1,0 | <1,0 | <1,0 | 2.1 | 0.08 | 53°31'45.84"<br>16°1'29.639"  |
| -  | GKP w odległości 290m od anteny sektorowej az. 20°    | 0,3-2,0 | <1,0 | <1,0 | <1,0 | 2.1 | 0.08 | 53°31'52.68"<br>16°1'38.999"  |
| -  | GKP w odległości 656m od anteny sektorowej az. 20°    | 0,3-2,0 | <1,0 | <1,0 | <1,0 | 2.1 | 0.08 | 53°32'3.839"<br>16°1'45.839"  |
| -  | GKP w odległości 282m od anteny sektorowej az. 150°   | 0,3-2,0 | <1,0 | <1,0 | <1,0 | 2.1 | 0.08 | 53°31'35.76"<br>16°1'41.159"  |
| -  | GKP w odległości 563m od anteny sektorowej az. 150°   | 0,3-2,0 | <1,0 | <1,0 | <1,0 | 2.1 | 0.08 | 53°31'27.839"<br>16°1'48.72"  |
| -  | GKP w odległości 281m od anteny sektorowej az. 280°   | 0,3-2,0 | <1,0 | <1,0 | <1,0 | 2.1 | 0.08 | 53°31'45.479"<br>16°1'18.119" |
| -  | GKP w odległości 620m od anteny sektorowej az. 280°   | 0,3-2,0 | <1,0 | <1,0 | <1,0 | 2.1 | 0.08 | 53°31'47.28"<br>16°1'0.12"    |

Sprawozdanie z badań bez pisemnej zgody laboratorium nie może być powielane inaczej niż w całości.  
Wynik przedstawione w niniejszym sprawozdaniu odnoszą się wyłącznie do badanego obiektu i do warunków i konfiguracji urządzeń w dniu wykonywania pomiarów.



Pole magnetyczne (wyznaczone na podstawie pomiaru wartości natężenia pola elektrycznego)

| Nr pionu | Opis umiejscowienia pionu (punktu) pomiarowego        | Wysokość pomiaru [m] | Wartość natężenia pola magnetycznego H [A/m] <sup>1</sup> |            |         | Wartość natężenia pola magnetycznego po uwzględnieniu poprawek pomiarowych powiększona o niepewność pomiaru <sup>4</sup> H [A/m] | Wskaźnikowa wartość poziomu emisji pól elektromagnetycznych WM <sub>H</sub> <sup>3</sup> | Współrzędne geograficzne pionu (punktu) pomiarowego <sup>2</sup> |
|----------|---|----------------------|---|------------|---------|--|--|--|
|          |   |                      | Sonda S-29  | Sonda S-30 | SUMA    |  |  |  |
| 1        | GKP w odległości 9m od anteny radioliniowej az. 2°    | 0,3-2,0              | <0.003*   | <0.003*    | <0.003* | 0.006  | 0.08   | 53°31'44.04"<br>16°1'33.24"                                      |
| 2        | GKP w odległości 37m od anteny radioliniowej az. 2°   | 0,3-2,0              | <0.003*   | <0.003*    | <0.003* | 0.006  | 0.08   | 53°31'45.12"<br>16°1'33.24"                                      |
| 3        | GKP w odległości 90m od anteny radioliniowej az. 2°   | 0,3-2,0              | <0.003*   | <0.003*    | <0.003* | 0.006  | 0.08   | 53°31'46.56"<br>16°1'33.599"                                     |
| 4        | GKP w odległości 10m od anteny sektorowej az. 20°     | 0,3-2,0              | <0.003*   | <0.003*    | <0.003* | 0.006  | 0.08   | 53°31'44.04"<br>16°1'33.599"                                     |
| 5        | GKP w odległości 44m od anteny sektorowej az. 20°     | 0,3-2,0              | <0.003*   | <0.003*    | <0.003* | 0.006  | 0.08   | 53°31'45.12"<br>16°1'34.319"                                     |
| 6        | GKP w odległości 89m od anteny sektorowej az. 20°     | 0,3-2,0              | <0.003*   | <0.003*    | <0.003* | 0.006  | 0.08   | 53°31'46.56"<br>16°1'35.039"                                     |
| 7        | GKP w odległości 9m od anteny sektorowej az. 150°     | 0,3-2,0              | <0.003*   | <0.003*    | <0.003* | 0.006  | 0.08   | 53°31'43.32"<br>16°1'33.599"                                     |
| 8        | GKP w odległości 35m od anteny sektorowej az. 150°    | 0,3-2,0              | <0.003*   | <0.003*    | <0.003* | 0.006  | 0.08   | 53°31'42.6"<br>16°1'34.319"                                      |
| 9        | GKP w odległości 67m od anteny sektorowej az. 150°    | 0,3-2,0              | <0.003*   | <0.003*    | <0.003* | 0.006  | 0.08   | 53°31'41.88"<br>16°1'35.399"                                     |
| 10       | GKP w odległości 96m od anteny sektorowej az. 150°    | 0,3-2,0              | <0.003*   | <0.003*    | <0.003* | 0.006  | 0.08   | 53°31'40.799"<br>16°1'36.12"                                     |
| 11       | GKP w odległości 10m od anteny radioliniowej az. 164° | 0,3-2,0              | <0.003*   | <0.003*    | <0.003* | 0.006  | 0.08   | 53°31'43.32"<br>16°1'33.599"                                     |
| 12       | GKP w odległości 39m od anteny radioliniowej az. 164° | 0,3-2,0              | <0.003*   | <0.003*    | <0.003* | 0.006  | 0.08   | 53°31'42.6"<br>16°1'33.959"                                      |
| 13       | GKP w odległości 63m od anteny radioliniowej az. 164° | 0,3-2,0              | <0.003*   | <0.003*    | <0.003* | 0.006  | 0.08   | 53°31'41.519"<br>16°1'34.319"                                    |
| 14       | GKP w odległości 94m od anteny radioliniowej az. 164° | 0,3-2,0              | <0.003*   | <0.003*    | <0.003* | 0.006  | 0.08   | 53°31'40.799"<br>16°1'34.679"                                    |
| 15       | GKP w odległości 13m od anteny radioliniowej az. 234° | 0,3-2,0              | <0.003*   | <0.003*    | <0.003* | 0.006  | 0.08   | 53°31'43.32"<br>16°1'32.88"                                      |
| 16       | GKP w odległości 35m od anteny radioliniowej az. 227° | 0,3-2,0              | <0.003*   | <0.003*    | <0.003* | 0.006  | 0.08   | 53°31'42.959"<br>16°1'32.16"                                     |
| 17       | GKP w odległości 67m od anteny radioliniowej az. 234° | 0,3-2,0              | <0.003*   | <0.003*    | <0.003* | 0.006  | 0.08   | 53°31'42.6"<br>16°1'30.359"                                      |
| 18       | GKP w odległości 91m od anteny radioliniowej az. 227° | 0,3-2,0              | <0.003*   | <0.003*    | <0.003* | 0.006  | 0.08   | 53°31'41.519"<br>16°1'29.639"                                    |

Sprawozdanie z badań bez pisemnej zgody laboratorium nie może być powielane inaczej niż w całości.  
Wynik przedstawione w niniejszym sprawozdaniu odnoszą się wyłącznie do badanego obiektu i do warunków i konfiguracji urządzeń w dniu wykonywania pomiarów.

|    |   |         |         |         |         |       |      |                               |
|----|---|---------|---------|---------|---------|-------|------|-------------------------------|
| 19 | GKP w odległości 92m od anteny radioliniowej az. 234° | 0,3-2,0 | <0.003* | <0.003* | <0.003* | 0.006 | 0.08 | 53°31'41.88"<br>16°1'29.279"  |
| 20 | GKP w odległości 11m od anteny radioliniowej az. 284° | 0,3-2,0 | <0.003* | <0.003* | <0.003* | 0.006 | 0.08 | 53°31'43.679"<br>16°1'32.88"  |
| 21 | GKP w odległości 38m od anteny sektorowej az. 280°    | 0,3-2,0 | <0.003* | <0.003* | <0.003* | 0.006 | 0.08 | 53°31'44.04"<br>16°1'31.44"   |
| 22 | GKP w odległości 64m od anteny radioliniowej az. 284° | 0,3-2,0 | <0.003* | <0.003* | <0.003* | 0.006 | 0.08 | 53°31'44.04"<br>16°1'29.999"  |
| 23 | GKP w odległości 71m od anteny sektorowej az. 280°    | 0,3-2,0 | <0.003* | <0.003* | <0.003* | 0.006 | 0.08 | 53°31'44.04"<br>16°1'29.639"  |
| 24 | GKP w odległości 94m od anteny radioliniowej az. 284° | 0,3-2,0 | <0.003* | <0.003* | <0.003* | 0.006 | 0.08 | 53°31'44.4"<br>16°1'28.559"   |
| 25 | GKP w odległości 96m od anteny sektorowej az. 280°    | 0,3-2,0 | <0.003* | <0.003* | <0.003* | 0.006 | 0.08 | 53°31'44.4"<br>16°1'28.199"   |
| 26 | GKP w odległości 15m od anteny radioliniowej az. 302° | 0,3-2,0 | <0.003* | <0.003* | <0.003* | 0.006 | 0.08 | 53°31'44.04"<br>16°1'32.52"   |
| 27 | GKP w odległości 52m od anteny radioliniowej az. 302° | 0,3-2,0 | <0.003* | <0.003* | <0.003* | 0.006 | 0.08 | 53°31'44.759"<br>16°1'31.08"  |
| 28 | GKP w odległości 73m od anteny radioliniowej az. 302° | 0,3-2,0 | <0.003* | <0.003* | <0.003* | 0.006 | 0.08 | 53°31'45.12"<br>16°1'29.999"  |
| 29 | GKP w odległości 89m od anteny radioliniowej az. 302° | 0,3-2,0 | <0.003* | <0.003* | <0.003* | 0.006 | 0.08 | 53°31'45.12"<br>16°1'29.279"  |
| 30 | GKP w odległości 70m od anteny radioliniowej az. 311° | 0,3-2,0 | <0.003* | <0.003* | <0.003* | 0.006 | 0.08 | 53°31'45.12"<br>16°1'30.359"  |
| 31 | GKP w odległości 92m od anteny radioliniowej az. 311° | 0,3-2,0 | <0.003* | <0.003* | <0.003* | 0.006 | 0.08 | 53°31'45.84"<br>16°1'29.639"  |
| -  | GKP w odległości 290m od anteny sektorowej az. 20°    | 0,3-2,0 | <0.003* | <0.003* | <0.003* | 0.006 | 0.08 | 53°31'52.68"<br>16°1'38.999"  |
| -  | GKP w odległości 656m od anteny sektorowej az. 20°    | 0,3-2,0 | <0.003* | <0.003* | <0.003* | 0.006 | 0.08 | 53°32'3.839"<br>16°1'45.839"  |
| -  | GKP w odległości 282m od anteny sektorowej az. 150°   | 0,3-2,0 | <0.003* | <0.003* | <0.003* | 0.006 | 0.08 | 53°31'35.76"<br>16°1'41.159"  |
| -  | GKP w odległości 563m od anteny sektorowej az. 150°   | 0,3-2,0 | <0.003* | <0.003* | <0.003* | 0.006 | 0.08 | 53°31'27.839"<br>16°1'48.72"  |
| -  | GKP w odległości 281m od anteny sektorowej az. 280°   | 0,3-2,0 | <0.003* | <0.003* | <0.003* | 0.006 | 0.08 | 53°31'45.479"<br>16°1'18.119" |
| -  | GKP w odległości 620m od anteny sektorowej az. 280°   | 0,3-2,0 | <0.003* | <0.003* | <0.003* | 0.006 | 0.08 | 53°31'47.28"<br>16°1'0.12"    |

GKP – Główny Kierunek Pomiarowy

<sup>1</sup> wyniki oznaczone \* są wynikami poniżej czułości zestawu pomiarowego

<sup>2</sup> współrzędne geograficzne pozyskane metodą obliczeniową w oparciu o pomiar punktu referencyjnego

Sprawozdanie z badań bez pisemnej zgody laboratorium nie może być powielane inaczej niż w całości.  
Wynik przedstawione w niniejszym sprawozdaniu odnoszą się wyłącznie do badanego obiektu i do warunków i konfiguracji urządzeń w dniu wykonywania pomiarów.

<sup>3</sup> do wyznaczenia wartości wskaźnikowej  $W_{ME}$  i  $W_{MH}$  przyjęto na podstawie uzgodnień z klientem oraz rozpoznania źródeł, jako wartości dopuszczalne pola elektrycznego i magnetycznego odpowiednio 28 V/m i 0,073 A/m.

<sup>4</sup> do wyznaczenia niepewności dla wyników poniżej czułości zestawu pomiarowego, przyjęto niepewność dla minimalnej wartości z zakresu pomiarowego.

<sup>5</sup> maksymalna wartość chwilowa

Niepewność oszacowano zgodnie z dokumentem P-03 „Procedura nadzoru nad wyposażeniem” w postaci niepewności rozszerzonej wynikającej z niepewności standardowej pomnożonej przez współczynnik rozszerzenia  $k=2$ .

Całkowita szacowana niepewność rozszerzona składowej E wynosi odpowiednio:

sonda S-29: 30.2% dla częstotliwości do 3 GHz, sonda S-30: 28.3% dla częstotliwości do 3 GHz

Dla przedmiotowych pomiarów zleceniodawca określił poprawkę pomiarową = 1.65.

Umieszczenie pionów (punktów) pomiarowych przedstawiono w nr 2 do niniejszego sprawozdania.

## 10. Omówienie wyników pomiarów

Wyniki pomiarów uzyskane zostały przy uwzględnieniu poprawek pomiarowych przekazanych przez zleceniodawcę, umożliwiającą uwzględnienie maksymalnych parametrów pracy instalacji zleceniodawcy oraz innych operatorów występujących w obszarze pomiarowym.

W wyniku zastosowania sposobu sprawdzenia dotrzymania dopuszczalnych poziomów pól elektromagnetycznych w środowisku, zgodnie pkt 25 ppkt 1 Rozporządzenia Ministra Klimatu z dnia 17 lutego 2020 r. (Dz. U. 2020, poz. 258), w związku z tym, że żadna z wartości wskaźnikowych, udokumentowanych w tabelach w pkt. 9 nie przekracza wartości 1, stwierdza się, że w miejscach, w których wykonano pomiary w otoczeniu instalacji radiokomunikacyjnej 32883 (42883N!) GKO\_ZLOCZENIE\_ALEJAPIASTOW2, dopuszczalne poziomy pól elektromagnetycznych w środowisku należy uznać za dotrzymane.

## 11. Podstawa prawna

- 1) Ustawa z dnia 27 kwietnia 2001 r. Prawo ochrony środowiska (t. j. Dz. U. z 2020 r., poz. 1219 z późn.zm.)
- 2) Rozporządzenie Ministra Zdrowia z dnia 17 grudnia 2019 r. w sprawie dopuszczalnych poziomów pól elektromagnetycznych w środowisku (Dz. U. 2019, poz. 2448)
- 3) Rozporządzenie Ministra Klimatu z dnia 17 lutego 2020 r. w sprawie sposobów sprawdzania dotrzymania dopuszczalnych poziomów pól elektromagnetycznych w środowisku (Dz. U. 2020, poz. 258),
- 4) Akredytacja nr AB 419 wydana przez Polskie Centrum Akredytacji (wydanie 19, z dnia 28 lutego 2022r.).

## 12. Spis załączników

Załącznik 1. Lokalizacja obiektu badań

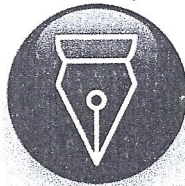
Załącznik 2. Usytuowanie pionów (punktów) pomiarowych

Załącznik 3. Dokumentacja fotograficzna obiektu badań

## 13. Data wydania i autoryzowania sprawozdania

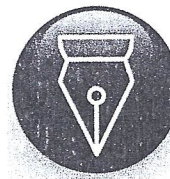
Obliczenia i sprawozdanie wykonał :

Signed by /  
Podpisano przez:



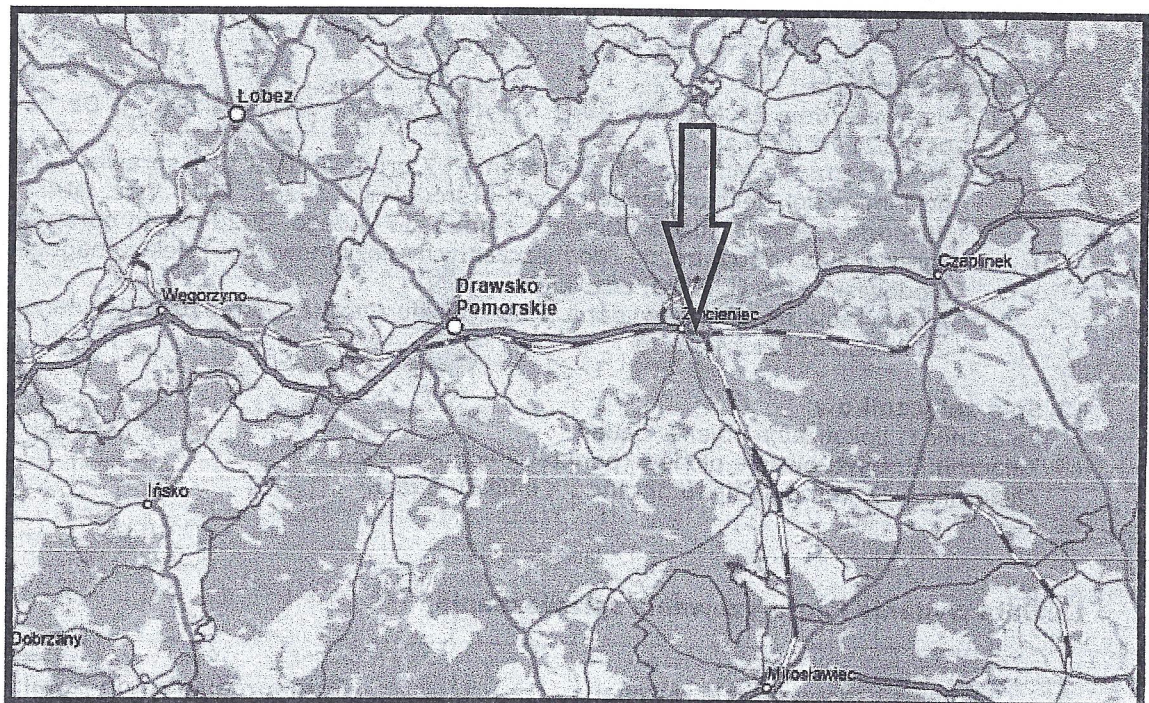
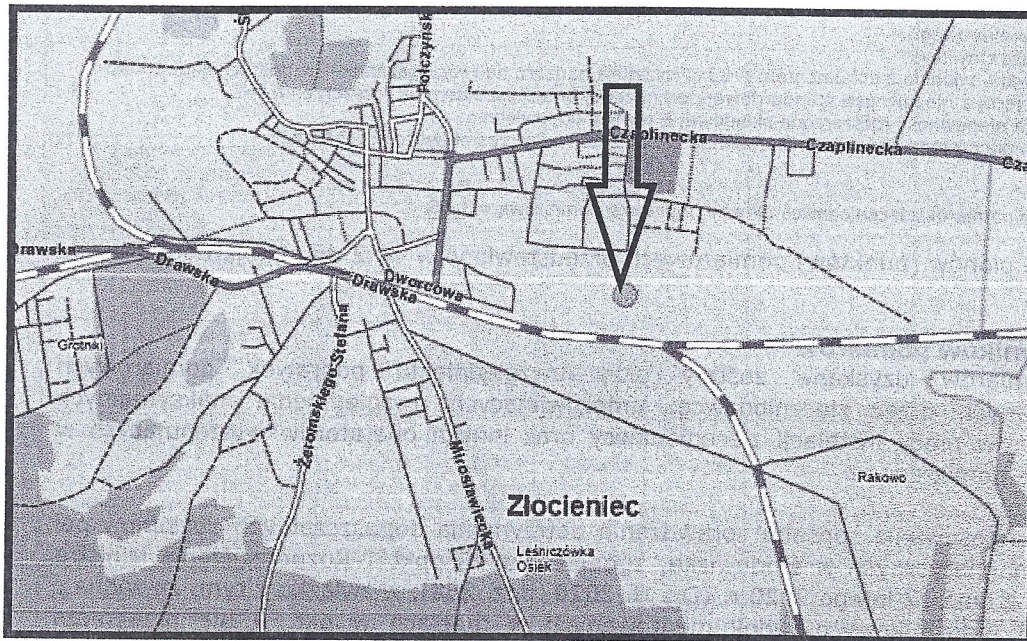
Sprawozdanie autoryzował:

Signed by /  
Podpisano przez:



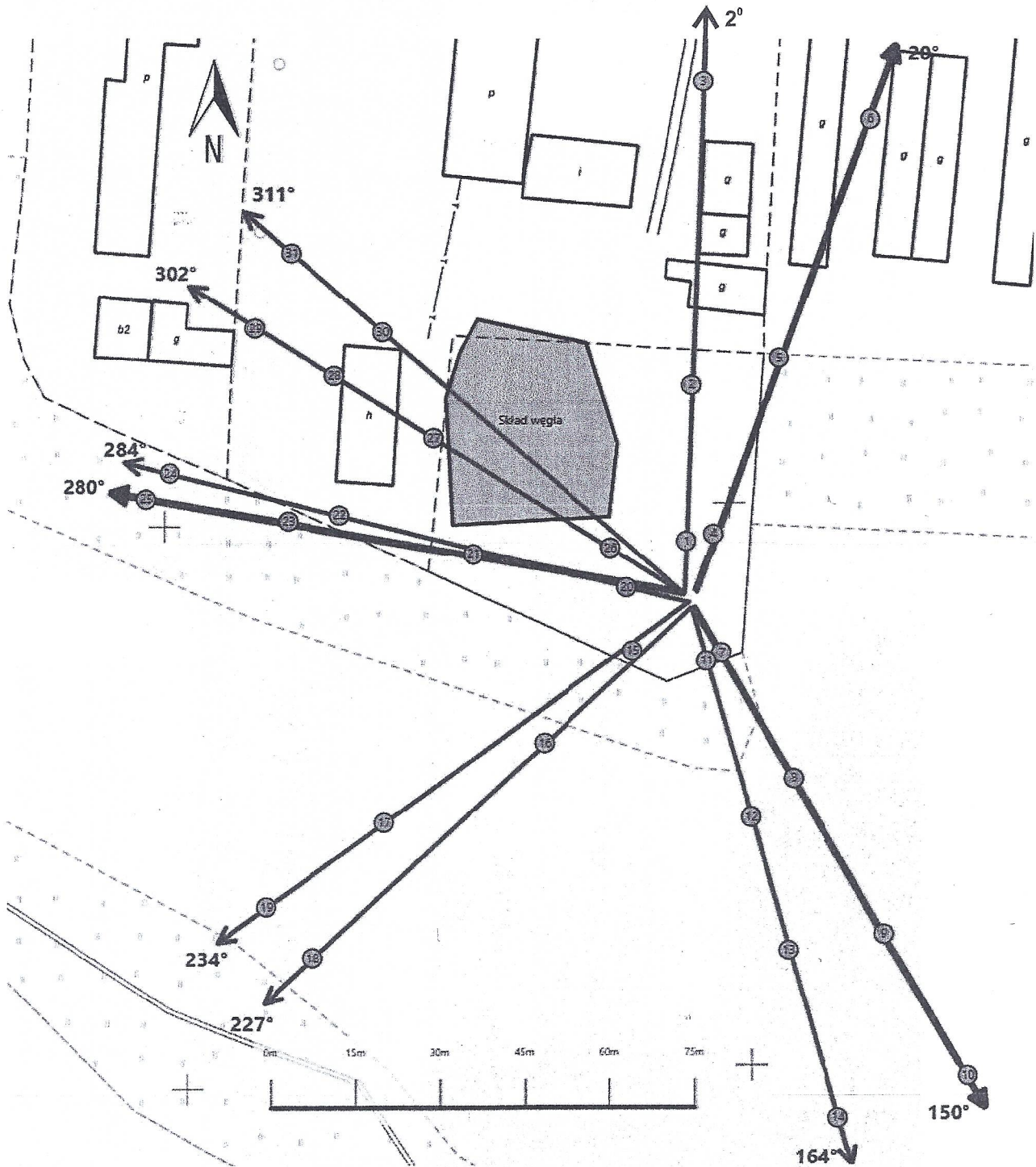
**Koniec sprawozdania**




Sprawozdanie z badań bez pisemnej zgody laboratorium nie może być powielane inaczej niż w całości.  
Wynik przedstawione w niniejszym sprawozdaniu odnoszą się wyłącznie do badanego obiektu i do warunków i konfiguracji urządzeń w dniu wykonywania pomiarów.

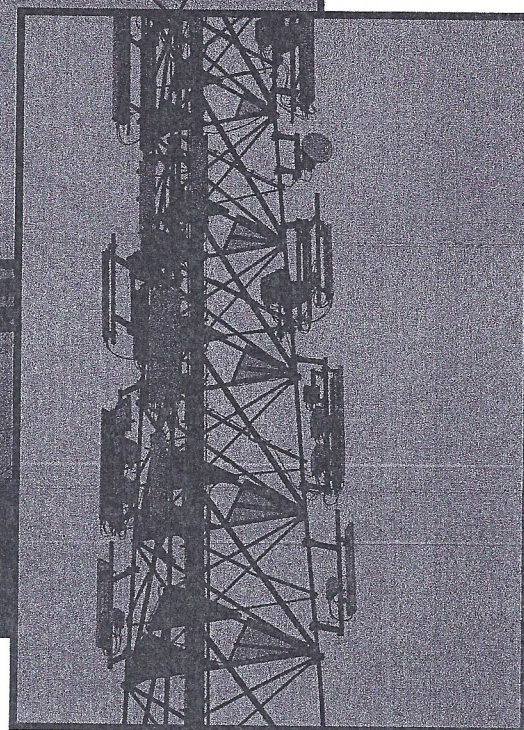
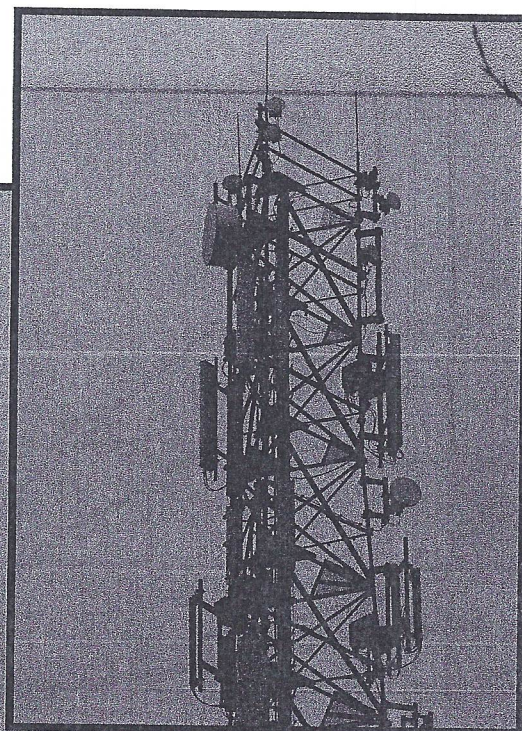
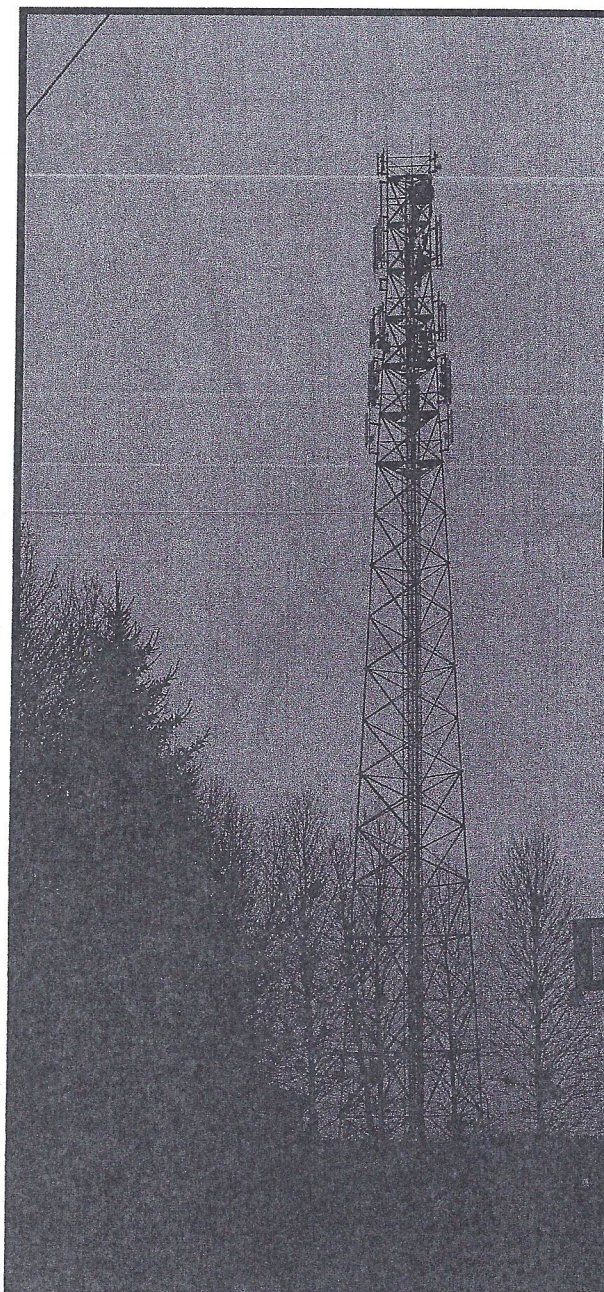


|                |   |
|----------------|---|
| Załącznik nr 1 | <p><b>INSTALACJA RADIOKOMUNIKACYJNA T-Mobile Polska S.A. 32883 (42883N!) GKO_ZLOCENIE_ALEJAPIASTOW2</b></p> <p>Lokalizacja instalacji radiokomunikacyjnej</p> |
|----------------|---|

Sprawozdanie z badań bez pisemnej zgody laboratorium nie może być powielane inaczej niż w całości.  
 Wynik przedstawione w niniejszym sprawozdaniu odnoszą się wyłącznie do badanego obiektu i do warunków i konfiguracji urządzeń w dniu wykonywania pomiarów.



|                |   |
|----------------|---|
| Załącznik nr 2 | <p style="text-align: center;">Instalacja radiokomunikacyjna T-Mobile Polska S.A.<br/>         GKO_ZLOCIE_NIE_ALEJAPIASTOW2 (42883N!)</p> <p style="text-align: center;">Usytuowanie pionów pomiarowych w otoczeniu instalacji radiokomunikacyjnej</p>  |
|                | <p>Legenda:</p> <div style="display: flex; justify-content: space-around; align-items: center;"> <div style="text-align: center;">  <p>Pion pomiarowy</p> </div> <div style="text-align: center;">  <p>Kierunek oddziaływania anten sektorowych</p> </div> <div style="text-align: center;">  <p>Kierunek oddziaływania anten radioliniowych</p> </div> </div> |



Załącznik nr 3

**INSTALACJA RADIOKOMUNIKACYJNA T-Mobile Polska S.A. 32883 (42883N!) GKO\_ZLOCZENIE\_ALEJAPIASTOW2**

Zdjęcia instalacji radiokomunikacyjnej

Sprawozdanie z badań bez pisemnej zgody laboratorium nie może być powielane inaczej niż w całości.  
Wynik przedstawione w niniejszym sprawozdaniu odnoszą się wyłącznie do badanego obiektu i do warunków i konfiguracji urządzeń w dniu wykonywania pomiarów.